

Цель работы: получение навыков разработки алгоритмов решения смешанной краевой задачи при реализации моделей, построенных на квазилинейном уравнении параболического типа.

Теоретическая часть

Задана математическая модель.

Уравнение для функции $T(x, t)$

$$c(T) \frac{\partial T}{\partial t} = \frac{\partial}{\partial x} \left(k(T) \frac{\partial T}{\partial x} \right) - \frac{2}{R} \alpha(x) T + \frac{2T_0}{R} \alpha(x) \quad (1)$$

Краевые условия

$$\begin{cases} t = 0, & T(x, 0) = T_0 \\ x = 0, & -k(T(0)) \frac{\partial T}{\partial x} = F_0 \\ x = l, & -k(l) \frac{\partial T}{\partial x} = \alpha_N (T(l) - T_0) \end{cases}$$

В обозначениях уравнения (14.1) лекции №14

$$p(x) = \frac{2}{R} \alpha(x)$$

$$f(x) = \frac{2T_0}{R} \alpha(x)$$

Функция $\alpha(x)$ задана уравнением:

$$\alpha(x) = \frac{c}{x - d}$$

Константы c и d из условий $\alpha(0) = a_0, \alpha(l) = a_N$,

$$c = -\alpha_0 d = \frac{\alpha_0 \alpha_N l}{\alpha_0 - \alpha_N}$$

$$d = \frac{\alpha_N l}{\alpha_N - \alpha_0}$$

Разностная схема

$$\begin{aligned} \widehat{A}_n \widehat{y}_{n-1} - \widehat{B}_n \widehat{y}_n + \widehat{D}_n \widehat{y}_{n+1} &= -\widehat{F}_n, 1 \leq n \leq N-1 \\ \widehat{A}_n &= \widehat{\chi}_{n-\frac{1}{2}} \frac{\tau}{h}, \\ \widehat{B}_n &= \widehat{A}_n + \widehat{D}_n + \widehat{c}_n h + p_n h \tau, \\ \widehat{D}_n &= \widehat{\chi}_{n+\frac{1}{2}} \frac{\tau}{h}, \\ \widehat{F}_n &= f_n h \tau + \widehat{c}_n y_n h \end{aligned} \quad (2)$$

Разностные аналоги краевых условий при $x = 0$ (получены в Лекции №14)

$$\begin{aligned} \left(\frac{h}{8} \widehat{c}_{\frac{1}{2}} + \frac{h}{4} \widehat{c}_0 + \widehat{\chi}_{\frac{1}{2}} \frac{\tau}{h} + \frac{\tau h}{8} p_{\frac{1}{2}} + \frac{\tau h}{4} p_0 \right) \widehat{y}_0 + \left(\frac{h}{8} \widehat{c}_{\frac{1}{2}} - \widehat{\chi}_{\frac{1}{2}} \frac{\tau}{h} + \frac{\tau h}{8} p_{\frac{1}{2}} \right) \widehat{y}_1 = \\ = \frac{h}{8} \widehat{c}_{\frac{1}{2}} (y_0 + y_1) + \frac{h}{4} \widehat{c}_0 y_0 + \widehat{F}_0 \tau + \frac{\tau h}{4} (\widehat{f}_{\frac{1}{2}} + \widehat{c}_0) \end{aligned} \quad (3)$$

Получим интегро-интерполяционным методом разностный аналог краевого условия при $x = l$. Для этого обозначим $F = -k(T) \frac{\partial T}{\partial x}$ и учтем то, что поток

$$\widehat{F}_N = \alpha_N (\widehat{y}_N - T_0), \widehat{F}_{N-\frac{1}{2}} = \widehat{\chi}_{N-\frac{1}{2}} \frac{\widehat{y}_{N-1} - \widehat{y}_N}{h}$$

Проинтегрируем уравнение (1) на отрезке $[x_{N-\frac{1}{2}}, x_N]$

$$\int_{x_{N-\frac{1}{2}}}^{x_N} dx = - \int_{t_m}^{t_{m+1}} dt \int_{x_{N-\frac{1}{2}}}^{x_N} \frac{\partial F}{\partial x} dx - \int_{x_{N-\frac{1}{2}}}^{x_N} dx \int_{t_m}^{t_{m+1}} p(x) T dt +$$

$$+ \int_{x_{N-\frac{1}{2}}}^{x_N} dx \int_{t_m}^{t_{m+1}} f(T) dt$$

$$\int_{x_{N-\frac{1}{2}}}^{x_N} \widehat{c} (\widehat{T} - T) dx = - \int_{t_m}^{t_{m+1}} (F_N - F_{N-\frac{1}{2}}) dt - \int_{x_{N-\frac{1}{2}}}^{x_N} p \widehat{T} \tau dx + \int_{x_{N-\frac{1}{2}}}^{x_N} \widehat{f} \tau dx$$

$$(\widehat{c}_N (\widehat{y}_N - y_N) + \widehat{c}_{N-\frac{1}{2}} (\widehat{y}_{N-\frac{1}{2}} - y_{N-\frac{1}{2}})) \frac{h}{4} = -\tau (\widehat{F}_N - \widehat{F}_{N-\frac{1}{2}}) -$$

$$- (p_N \widehat{y}_N + p_{N-\frac{1}{2}} \widehat{y}_{N-\frac{1}{2}}) \tau \frac{h}{4} + (\widehat{f}_N + \widehat{f}_{N-\frac{1}{2}}) \tau \frac{h}{4}$$

$$\frac{h}{4} \widehat{c}_N \widehat{y}_N - \frac{h}{4} \widehat{c}_N y_N + \frac{h}{8} \widehat{c}_{N-\frac{1}{2}} \widehat{y}_N + \frac{h}{8} \widehat{c}_{N-\frac{1}{2}} \widehat{y}_{N-1} - \frac{h}{8} \widehat{c}_{N-\frac{1}{2}} y_N$$

$$- \frac{h}{8} \widehat{c}_{N-\frac{1}{2}} y_{N-1} = -\tau \alpha_N \widehat{y}_N + \tau \alpha_N T_0 + \tau \widehat{\chi}_{N-\frac{1}{2}} \frac{\widehat{y}_{N-1}}{h} - \tau \widehat{\chi}_{N-\frac{1}{2}} \frac{\widehat{y}_N}{h} -$$

$$- p_N \widehat{y}_N \tau \frac{h}{4} - p_{N-\frac{1}{2}} \widehat{y}_N \tau \frac{h}{8} - p_{N-\frac{1}{2}} \widehat{y}_{N-1} \tau \frac{h}{8} + (\widehat{f}_N + \widehat{f}_{N-\frac{1}{2}}) \tau \frac{h}{4}$$

$$\widehat{y}_{N-1} \left(\widehat{c}_{N-\frac{1}{2}} \frac{h}{8} - \frac{\tau \widehat{\chi}_{N-\frac{1}{2}}}{h} + p_{N-\frac{1}{2}} \tau \frac{h}{8} \right) +$$

$$+ \widehat{y}_N \left(\widehat{c}_N \frac{h}{4} + \widehat{c}_{N-\frac{1}{2}} \frac{h}{8} + \tau \alpha_N + \frac{\tau \widehat{\chi}_{N-\frac{1}{2}}}{h} + p_N \tau \frac{h}{4} + p_{N-\frac{1}{2}} \tau \frac{h}{8} \right) =$$

$$= \widehat{c}_{N-\frac{1}{2}} \left(y_N \frac{h}{8} + y_{N-1} \frac{h}{8} \right) + \widehat{c}_N y_N \frac{h}{4} + \tau \alpha_N T_0 + (\widehat{f}_N + \widehat{f}_{N-\frac{1}{2}}) \tau \frac{h}{4} \quad (4)$$

Из полученных краевых условий находим коэффициенты $K_0, K_N, M_0, M_N, P_0, P_N$.

$$\begin{cases} \widehat{K}_0 \widehat{y}_0 + \widehat{M}_0 \widehat{y}_1 = \widehat{P}_0 \\ \widehat{A}_n \widehat{y}_{n-1} - \widehat{B}_n \widehat{y}_n + \widehat{D}_n \widehat{y}_{n+1} = -\widehat{F}_n, 1 \leq n \leq N-1 \\ \widehat{K}_N \widehat{y}_N + \widehat{M}_{N-1} \widehat{y}_{N-1} = \widehat{P}_N \end{cases} \quad (5)$$

Данная система решается методом итераций. Обозначим текущую итерацию s , а предыдущую $s-1$

$$A_n^{s-1} y_{n+1}^s - B_n^{s-1} y_n^s + D_n^{s-1} y_{n-1}^s = -F_n^{s-1}$$

Значения параметров

$$k(T) = a_1 (b_1 + c_1 T^{m_1}), \frac{\text{Вт}}{\text{см}^3 \text{К}},$$

$$c(T) = a_2 + b_2 T^{m_2} - \frac{c_2}{T^2}, \frac{\text{Дж}}{\text{см}^3 \text{К}},$$

$$a_1 = 0.0134,$$

$$b_1 = 1,$$

$$c_1 = 4.35 \cdot 10^{-4},$$

$$m_1 = 1,$$

$$a_2 = 2.049,$$

$$b_2 = 0.563 \cdot 10^{-3},$$

$$c_2 = 0.528 \cdot 10^5,$$

$$\begin{aligned}
m_2 &= 1 \\
\alpha(x) &= \frac{c}{x-d}, \\
\alpha_0 &= 0.05 \frac{\text{Вт}}{\text{см}^2\text{К}}, \\
\alpha_N &= 0.01 \frac{\text{Вт}}{\text{см}^2\text{К}}, \\
l &= 10 \text{ см}, \\
T_0 &= 300 \text{ К}, \\
R &= 0.5 \text{ см} \\
F(t) &= 50 \frac{\text{Вт}}{\text{см}^2}.
\end{aligned}$$

Физическое содержание задачи

Постановки задач в данной лабораторной работе и работе №3 во многом совпадают. Отличия заключаются в следующем:

1. Сформулированная в данной работе математическая модель описывает нестационарное температурное поле $T(x, t)$, зависящее от координаты x и меняющееся во времени.
2. Свойства материала стержня привязаны к температуре, т.е. теплоемкость и коэффициент теплопроводности $c(T), k(T)$ зависят от T тогда как в работе №3 $k(x)$ зависит от координаты, а $c = 0$.
3. При $x = 0$ цилиндр нагружается тепловым потоком $F(t)$, в общем случае зависящим от времени, а в работе №3 поток был постоянный. Если в настоящей работе задать поток постоянным, т.е. $F(t) = \text{const}$, то будет происходить формирование температурного поля от начальной температуры T_0 до некоторого установившегося (стационарного) распределения. Математическая модель описывает нестационарное температурное поле $T(x, t)$. Это поле в дальнейшем с течением времени меняться не будет и должно совпасть с температурным распределением $T(x)$ математическая модель описывает нестационарное температурное поле $T(x)$, получаемым в лаб. работе №3, если все параметры задач совпадают, в частности, вместо $k(T)$ надо использовать $k(x)$ из лаб. работы №3. Если после разогрева стержня положить поток $F(t) = 0$, то будет происходить остывание, пока температура не выровняется по всей длине и не станет равной T_0 . При произвольной зависимости потока $F(t)$ от времени температурное поле будет как-то сложным образом отслеживать поток.

Практическая часть

В листинге 1 представлен код программы:

Листинг 1: Листинг программы

```

1 import matplotlib.pyplot as plt
2 import numpy as np
3 from math import fabs
4
5
6 a1 = 0.0134
7 b1 = 1
8 c1 = 4.35e-4
9 m1 = 1
10 a2 = 2.049
11 b2 = 0.563e-3
12 c2 = 0.528e5
13 m2 = 1
14 alpha0 = 0.05
15 alphaN = 0.01
16 l = 10
17 T0 = 300
18 R = 0.5
19 F0 = 50

```

```

20
21 h = 1e-3
22 t = 1
23
24
25 def k(T):
26     return a1 * (b1 + c1 * T ** m1)
27
28
29 def c(T):
30     return a2 + b2 * T ** m2 - (c2 / T ** 2)
31
32
33 def alpha(x):
34     d = (alphaN * 1) / (alphaN - alpha0)
35     c = - alpha0 * d
36     return c / (x - d)
37
38
39 def p(x):
40     return 2 * alpha(x) / R
41
42
43 def f(x):
44     return 2 * alpha(x) * T0 / R
45
46
47 def func_plus_half(x, step, func):
48     return (func(x) + func(x + step)) / 2
49
50
51 def func_minus_half(x, step, func):
52     return (func(x) + func(x - step)) / 2
53
54
55 def A(T):
56     return t / h * func_minus_half(T, t, k)
57
58
59 def D(T):
60     return t / h * func_plus_half(T, t, k)
61
62
63 def B(x, T):
64     return A(T) + D(T) + c(T) * h + p(x) * h * t
65
66
67 def F(x, T):
68     return f(x) * h * t + c(T) * T * h
69
70
71 def left_boundary_condition(T_prev):
72     K0 = h / 8 * func_plus_half(T_prev[0], t, c) + h / 4 *
73         c(T_prev[0]) + \
74         func_plus_half(T_prev[0], t, k) * t / h + \
75         t * h / 8 * p(h / 2) + t * h / 4 * p(0)
76
77     M0 = h / 8 * func_plus_half(T_prev[0], t, c) - \
78         func_plus_half(T_prev[0], t, k) * t / h + \
79         t * h * p(h / 2) / 8

```

```

80     P0 = h / 8 * func_plus_half(T_prev[0], t, c) * (T_prev[0] +
81         T_prev[1]) + \
82         h / 4 * c(T_prev[0]) * T_prev[0] + \
83         F0 * t + t * h / 8 * (3 * f(0) + f(h))
84     return K0, M0, P0
85
86
87 def right_boundary_condition(T_prev):
88     KN = h / 8 * func_minus_half(T_prev[-1], t, c) + h / 4 *
89         c(T_prev[-1]) + \
90         func_minus_half(T_prev[-1], t, k) * t / h + t * alphaN + \
91         t * h / 8 * p(1 - h / 2) + t * h / 4 * p(1)
92
93     MN = h / 8 * func_minus_half(T_prev[-1], t, c) - \
94         func_minus_half(T_prev[-1], t, k) * t / h + \
95         t * h * p(1 - h / 2) / 8
96
97     PN = h / 8 * func_minus_half(T_prev[-1], t, c) * (T_prev[-1] +
98         T_prev[-2]) + \
99         h / 4 * c(T_prev[-1]) * T_prev[-1] + t * alphaN * T0 + \
100         t * h / 4 * (f(1) + f(1 - h / 2))
101
102     return KN, MN, PN
103
104 def run(T_prev, K0, M0, P0, KN, MN, PN):
105     eps = [0, -M0 / K0]
106     eta = [0, P0 / K0]
107
108     x = h
109     n = 1
110     while (x + h < 1):
111         eps.append((D(T_prev[n]) / (B(x, T_prev[n]) - A(T_prev[n]) *
112             eps[n])))
113         eta.append(((F(x, T_prev[n]) + A(T_prev[n]) * eta[n]) / (B(x,
114             T_prev[n]) - A(T_prev[n]) * eps[n])))
115         n += 1
116         x += h
117
118     y = [0] * (n + 1)
119     y[n] = (PN - MN * eta[n]) / (KN + MN * eps[n])
120
121     for i in range(n - 1, -1, -1):
122         y[i] = eps[i + 1] * y[i + 1] + eta[i + 1]
123
124     return y
125
126 def main():
127     # Метод простых итераций
128     step1 = int(1 / h)
129     T = [T0] * (step1 + 1)
130     T_new = [0] * (step1 + 1)
131     ti = 0
132     res = []
133     res.append(T)
134
135     while True:
136         prev = T
137         while True:

```

```

136         K0, M0, P0 = left_boundary_condition(prev)
137         KN, MN, PN = right_boundary_condition(prev)
138         T_new = run(prev, K0, M0, P0, KN, MN, PN)
139
140         max = fabs((T[0] - T_new[0]) / T_new[0])
141         for step2, j in zip(T, T_new):
142             d = fabs(step2 - j) / j
143             if d > max:
144                 max = d
145         if max < 1:
146             break
147
148         prev = T_new
149         res.append(T_new)
150         ti += t
151
152         check_eps = 0
153         for i, j in zip(T, T_new):
154             if fabs((i - j) / j) > 1e-2:
155                 check_eps = 1
156         if check_eps == 0:
157             break
158         T = T_new
159
160     x = [i for i in np.arange(0, 1, h)]
161     te = [i for i in range(0, ti, t)]
162
163     step1 = 0
164     for i in res:
165         if (step1 % 2 == 0):
166             plt.plot(x, i[:-1])
167             step1 += 1
168     plt.plot(x, res[-1]):-1])
169     plt.xlabel("x, cm")
170     plt.ylabel("T, K")
171     plt.grid()
172     plt.show()
173
174     step2 = 0
175     while (step2 < 1 / 3):
176         point = [j[int(step2 / h)] for j in res]
177         plt.plot(te, point[:-1])
178         step2 += 0.1
179     plt.xlabel("t, sec")
180     plt.ylabel("T, K")
181     plt.grid()
182     plt.show()
183
184
185 if __name__ == "__main__":
186     main()

```

1. График зависимости температуры $T(x, t_m)$ от координаты x при нескольких фиксированных значениях времени t_m при заданных выше параметрах.

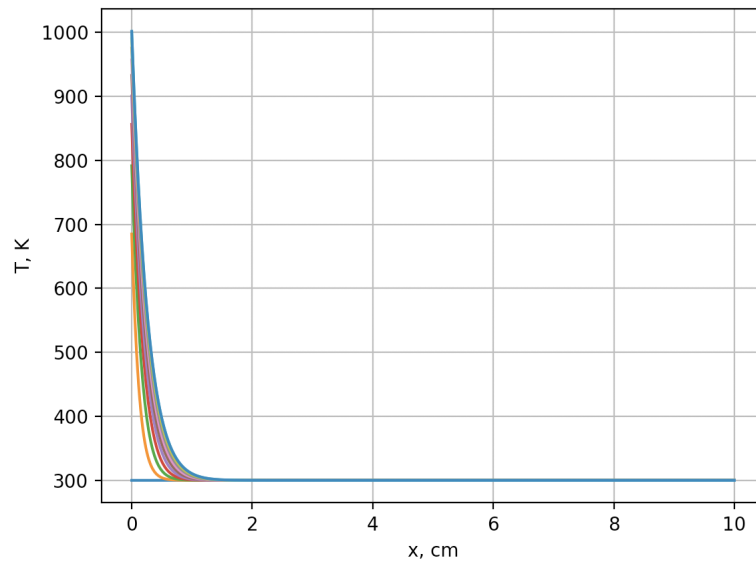


Рис. 1: График зависимости температуры $T(x, t_m)$ от координаты x

2. График зависимости $T(x_n, t)$ при нескольких фиксированных значениях координаты x_n .

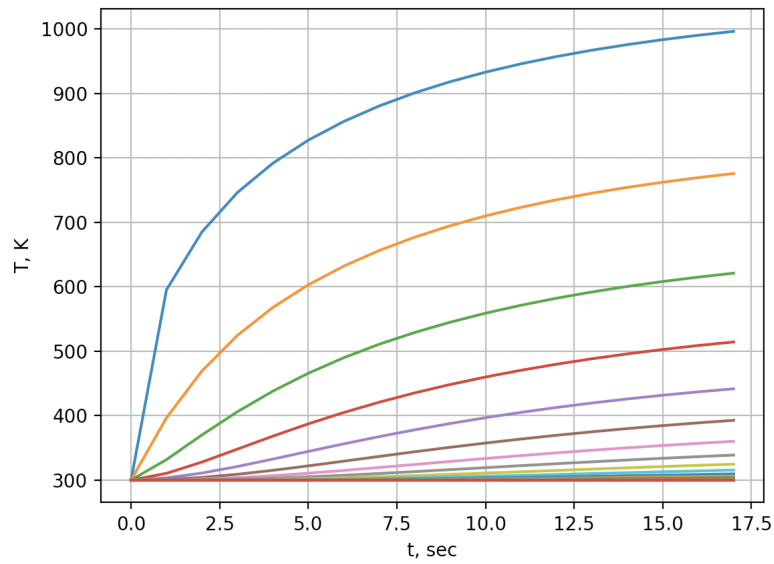


Рис. 2: График зависимости $T(x_n, t)$ при нескольких фиксированных значениях координаты x_n

Верхний график соответствует случаю $x = 0$, нижний случаю $x = l$.

Ответы на вопросы

1. Результаты тестирования программы.

Если из полученных разностных аналогов краевых условий обнулить $c(u)$, принять τ равным 1 и заменить зависимость коэффициента теплопроводности от T на зависимость от координаты на стержне x , то можно получить график (Рис. 3), соответствующий полученному графику в 3 лабораторной работе (Рис. 4).

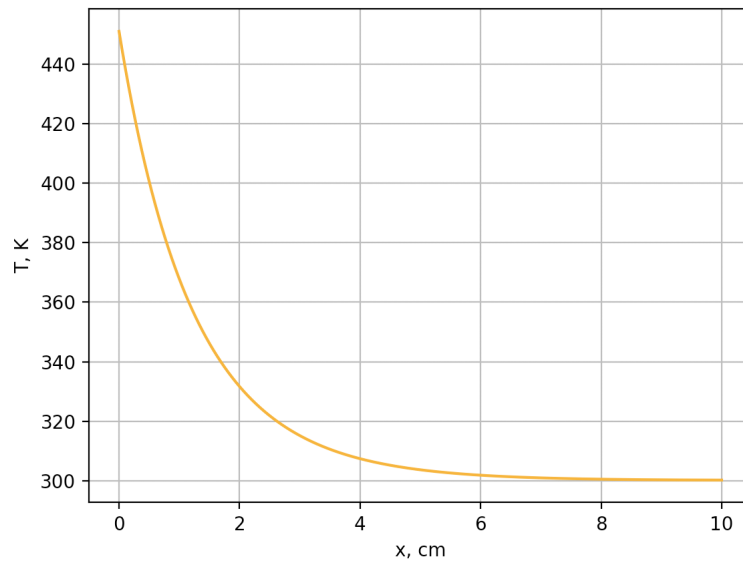


Рис. 3: График из 4 лабораторной работы

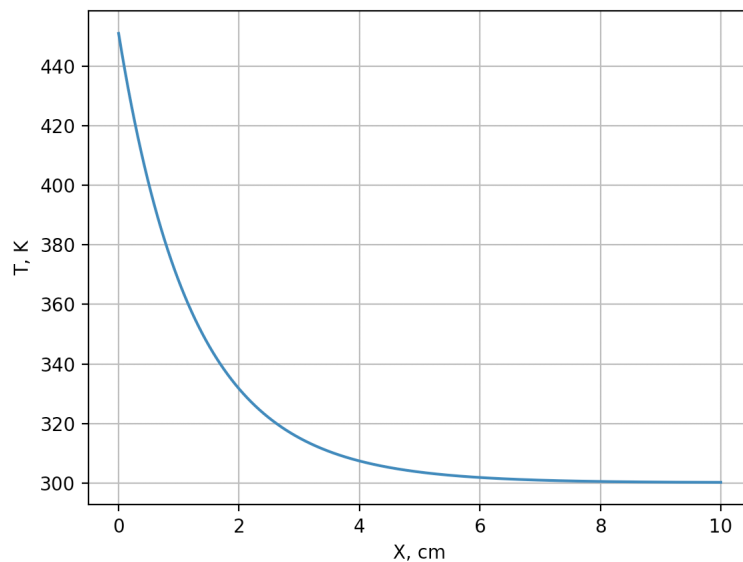


Рис. 4: График из 3 лабораторной работы

Если обнулить поток $F_0(T)$, то на выходе должны получить график температуры, установившейся в соответствии с температурой окружающей среды. (Рис. 5)

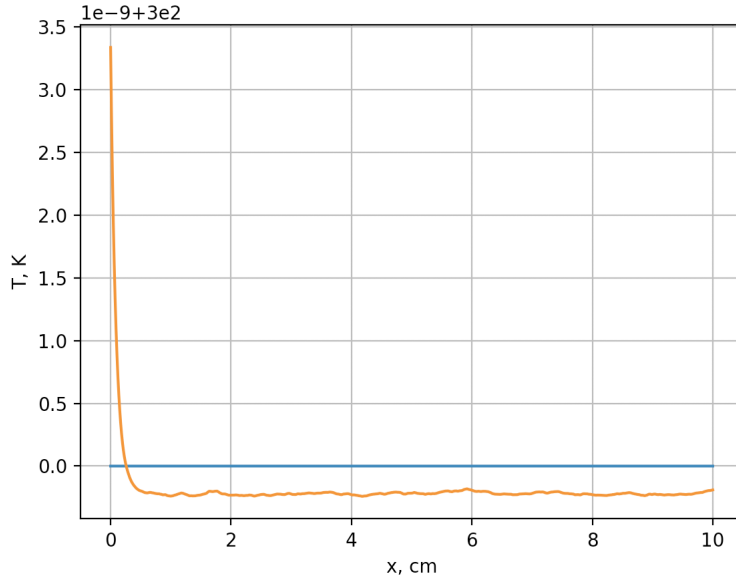


Рис. 5: График при нулевом потоке

2. Выполните линеаризацию уравнения (14.8) по Ньютону, полагая для простоты, что все коэффициенты зависят только от одной переменной \hat{y}_n .

Уравнение, которое необходимо линеаризовать

$$\begin{cases} \hat{K}_0 \hat{y}_0 + \hat{M}_0 \hat{y}_1 = \hat{P}_0 \\ \hat{A}_n \hat{y}_{n-1} - \hat{B}_n \hat{y}_n + \hat{D}_n \hat{y}_{n+1} = -\hat{F}_n, 1 \leq n \leq N-1 \\ \hat{K}_N \hat{y}_N + \hat{M}_{N-1} \hat{y}_{N-1} = \hat{P}_N \end{cases} \quad (6)$$

Выполним линеаризацию методом Ньютона по переменным $\hat{y}_{n-1}, \hat{y}_n, \hat{y}_{n+1}$. Обозначим текущую итерацию s , а предыдущую итерацию за $(s-1)$.

Начальное распределение задается произвольно \hat{y}_0 .

Будем полагать, что значения предыдущей итерации известны.

Зная, что коэффициенты системы зависят только от \hat{y}_n , получим

$$\begin{aligned} & \left(\hat{A}_n \hat{y}_{n-1} - \hat{B}_n \hat{y}_n + \hat{D}_n \hat{y}_{n+1} + \hat{F}_n \right) \Big|_{(s-1)} + \hat{A}_n^{(s-1)} \Delta \hat{y}_{n-1}^{(s)} + \\ & + \left(\frac{\partial \hat{A}_n}{\partial \hat{y}_n} \hat{y}_{n-1} - \frac{\partial \hat{B}_n}{\partial \hat{y}_n} \hat{y}_n - \hat{B}_n + \frac{\partial \hat{D}_n}{\partial \hat{y}_n} \hat{y}_{n+1} + \frac{\partial \hat{F}_n}{\partial \hat{y}_n} \right) \Big|_{(s-1)} \cdot \Delta \hat{y}_n^{(s)} + \\ & + \hat{D}_n^{(s-1)} \Delta \hat{y}_{n+1}^{(s)} = 0 \end{aligned}$$

Введем обозначения

$$\begin{aligned}
A_n &= \widehat{A}_n^{(s-1)} \\
B_n &= \left(-\frac{\partial \widehat{A}_n}{\partial \widehat{y}_n} \widehat{y}_{n-1} + \frac{\partial \widehat{B}_n}{\partial \widehat{y}_n} \widehat{y}_n + \widehat{B}_n - \frac{\partial \widehat{D}_n}{\partial \widehat{y}_n} \widehat{y}_{n+1} + \frac{\partial \widehat{F}_n}{\partial \widehat{y}_n} \right) \Big|_{(s-1)} \\
D_n &= \widehat{D}_n^{(s-1)} \\
F_n &= \left(\widehat{A}_n \widehat{y}_{n-1} - \widehat{B}_n \widehat{y}_n + \widehat{D}_n \widehat{y}_{n+1} + \widehat{F}_n \right) \Big|_{(s-1)}
\end{aligned}$$

Тогда

$$A_n \Delta \widehat{y}_{n-1}^{(s)} - B_n \Delta \widehat{y}_n^{(s)} + D_n \Delta \widehat{y}_{n+1}^{(s)} = -F_n$$

Выполним линеаризацию краевых условий

Для \widehat{y}_0

$$\begin{aligned}
&\left(\widehat{K}_0 \widehat{y}_0 + \widehat{M}_0 \widehat{y}_1 - \widehat{P}_0 \right) \Big|_{(s-1)} + \widehat{K}_0^{(s-1)} \Delta \widehat{y}_0^{(s)} + \widehat{M}_0^{(s-1)} \Delta \widehat{y}_1^{(s)} = 0 \\
&\widehat{K}_0 = \widehat{K}_0^{(s-1)} \\
&\widehat{M}_0 = \widehat{M}_0^{(s-1)} \\
&\widehat{P}_0 = -\left(\widehat{K}_0 \widehat{y}_0 + \widehat{M}_0 \widehat{y}_1 - \widehat{P}_0 \right) \Big|_{(s-1)} \\
&\widehat{K}_0 \Delta \widehat{y}_0^{(s)} + \widehat{M}_0 \Delta \widehat{y}_1^{(s)} = \widehat{P}_0
\end{aligned}$$

Для \widehat{y}_n

$$\begin{aligned}
&\left(\widehat{K}_N \widehat{y}_N + \widehat{M}_{N-1} \widehat{y}_{N-1} - \widehat{P}_N \right) \Big|_{(s-1)} + \widehat{K}_N^{(s-1)} \Delta \widehat{y}_N^{(s)} + \widehat{M}_{N-1}^{(s-1)} \Delta \widehat{y}_{N-1}^{(s)} = 0 \\
&\widehat{K}_N = \widehat{K}_N^{(s-1)} \\
&\widehat{M}_{N-1} = \widehat{M}_{N-1}^{(s-1)} \\
&\widehat{P}_N = -\left(\widehat{K}_N \widehat{y}_N + \widehat{M}_{N-1} \widehat{y}_{N-1} - \widehat{P}_N \right) \Big|_{(s-1)} \\
&\widehat{K}_N \Delta \widehat{y}_N^{(s)} + \widehat{M}_{N-1} \Delta \widehat{y}_{N-1}^{(s)} = \widehat{P}_N
\end{aligned}$$

Получаем систему

$$\begin{cases} A_n \Delta \widehat{y}_{n-1}^{(s)} - B_n \Delta \widehat{y}_n^{(s)} + D_n \Delta \widehat{y}_{n+1}^{(s)} = -F_n \\ \widehat{K}_0 \Delta \widehat{y}_0^{(s)} + \widehat{M}_0 \Delta \widehat{y}_1^{(s)} = \widehat{P}_0 \\ \widehat{K}_N \Delta \widehat{y}_N^{(s)} + \widehat{M}_{N-1} \Delta \widehat{y}_{N-1}^{(s)} = \widehat{P}_N \end{cases} \quad (7)$$

Система решается методом прогонки. Находим все $\Delta \widehat{y}_n^{(s)}$. Зная приближение $s-1$, можно найти приближение s

$$\widehat{y}_n^s = \widehat{y}_n^{(s-1)} + \Delta \widehat{y}_n^{(s)}$$

Итерационный процесс завершается, когда достигнуто условие

$$\max \left| \frac{\Delta \widehat{y}_n^s}{\widehat{y}_n^s} \right| \leq \varepsilon.$$

Вывод

В ходе лабораторной работы были получены навыки разработки алгоритмов решения смешанной краевой задачи при реализации моделей, построенных на квазилинейном уравнении параболического типа.